

## محاسبات شیمی کوانتمومی بر پایه نظریه تابعیت چگالی روی آفتکش کلروپیریفوس

فرزاد جواهری<sup>۱</sup>، زهرا شریعتی نیا<sup>۲</sup>، محمد حسن موسی زاده<sup>۳</sup>

۱- کارشناسی ارشد، شیمی معدنی، دانشگاه صنعتی امیرکبیر (بلی تکنیک تهران)

۲- عضو هیات علمی دانشکده شیمی، دانشگاه صنعتی امیرکبیر (بلی تکنیک تهران)

۳- عضو هیات علمی دانشکده شیمی، دانشگاه صنعتی امیرکبیر (بلی تکنیک تهران)

### چکیده

در این پژوهش محاسبات شیمی کوانتمومی DFT با روش B3LYP و مجموعه پایه-31G(d,p) برای بررسی اثر آفتکش‌های ارگانوفسفره روی اسید آمینه سرین از طریق پیوند هیدروژنی در حلال آب انجام گرفت. برهمکنش ۶ ترکیب کلروپیریفوس و مشتقات آن سبب تشکیل ۶ کمپلکس مختلف شد. انرژی پایداری این سیستم‌ها اندازه گیری شدند. مقادیر ممان دوقطبی نزدیک به هم و در حدود ۳/۶ تا ۴/۷ الکترون ولت را نشان می‌دهد. آنتالپی و انرژی آزاد گیسیس همگی مثبت است که گرمایگیر بودن و غیرخودبخودی بودن تشکیل این کمپلکس‌ها را نشان می‌دهد. مقدار باند گپ که از اختلاف انرژی اربیتال‌های همو و لومو محاسبه شده است، نزدیک بهم و در حدود ۵/۱ الکترون ولت است. با توجه به نزدیک بودن باند گپ اسید آمینه سرین تشکیل پیوند هیدروژنی قوی در تمامی کمپلکس‌ها محتمل است. توصیف گرهای کوانتم مکانیکی کمپلکس‌های کلروپیریفوس محاسبه و بررسی شد و در تعیین بهترین کمپلکس‌ها مورد استفاده قرار گرفت. طول و زوایای پیوند ترکیبات قبل و بعد از تشکیل کمپلکس محاسبه و مقایسه گردید و تغییر زوایا و فرم کلی ساختارها جداگانه بررسی شد. در داده‌های QTAIM در تمام کمپلکس‌ها پیوند‌های S1...H-O ماهیت الکترواستاتیکی داشتند. همچنین پیوند هیدروژنی درون ملکولی در اسید آمینه سرین O...H-O ماهیت الکترواستاتیکی دارد. پیوند‌های C-H و N-H و P-O و C-N ماهیت دوره ۳، شماره ۱ (مسلسل:۵)، بهار ۱۴۰۰، صفحات ۵۰-۷۵

**كلمات کلیدی:** محاسبات شیمی کوانتمی، ارگانو فسفره، آفتکش، نظریه تابعیت چگالی،

پیوند هیدروژنی، کلروپیریفوس

## ۱- مقدمه

آفت کش ها ترکیبات شیمیایی هستند که بر علیه آفات در کشاورزی و نیز بر علیه ناقلين بیماریهای انسانی و حیوانی در بهداشت عمومی مصرف می شوند. کلروپیریفوس یک ترکیب ارگانوفسفره هست که برای دفع آفات کشاورزی بطور وسیع مورد استفاده قرار گرفته اند. کلروپیریفوس در سال ۱۹۶۵ در کمپانی داو آمریکا ثبت و وارد چرخه مصرف گردید. درجه سمیت کلرو پیریفوس  $mg/kg$  430 تعیین شده و قرار گرفتن در معرض این مواد شیمیایی بصورت مستمر توصیه نمی شود. مکانیسم اثر ارگانوفسفره ها اغلب مشترک بوده و با بلاک کردن آنزیم کولین استراز در بدن باعث التهاب و تحریکات شدید و غیر قابل کنترل عصبی-ماهیچه ای میشود [۱]. ارگانو فسفات نام عمومی استرهای فسفریک اسید است. بطور کلی این سوموم دارای فرمول کلی زیر می باشند: ۱. اتم مرکزی فسفر متصل به اتم اکسیژن با دو پیوند. ۲. د گروه چربی دوست مانند کلکلا. ۳. یک گروه جدا شونده مانند هالوژن ها. همچنین بعضی از ارگانوفسفره ها دارای پیوند اکسیژن-فسفر هستند که به طور معمول در فرمول حشره کش های معمولی پیدا نمی شود. این پیوند پایداری بیشتری به ترکیب داده و سمیت آنها را به شدت افزایش می دهند. آنزیم کولین استراز ماده ای بنام استیبل کولین را در محل سیناپس عصب از طریق هیدرولیز آزاد می کند. انبساط و انقباض مردمک چشم و ریه ها و غیره از آن جمله اند. برای درمان مسمومیت های ناشی از سم پاشی کلروپیریفوس و دیازینون از سولفات آتروپین استفاده می شود [۲]. سرین (Ser) یکی از اسید آمینه هایی است که در ساختار پروتئین ها بکار می رود و از جمله اسید آمینه ای الکل دار و دارای گروه  $-OH$  است. سرین پروتئناها گروهی از آنزیم ها هستند که پروتئین ها را در محل اسید آمینه سرین تجزیه می کند [۳].

در سالهای اخیر بدیل هزینه های سنگین پروژه های تحقیقاتی (شامل پرسنل مجرب دستگاههای آزمایشگاهی و مواد شیمیایی وزمان بعضا طولانی) استفاده از روش محاسباتی مورد توجه قرار گرفته است. اطلاعات ارائه شده در شیمی محاسباتی از صحت و دقیقت بالایی برخوردار است. در شیمی محاسباتی به کمک کامپیوتر و نرم افزار اطلاعات لازم توسط

ابراتوریه نرم افزار معرفی شده و پس از محاسبات توسط کامپیوتر اطلاعات خروجی ارائه می‌گردد. این داده‌ها مبنای تجزیه و تحلیل شیمیدانان قرار گرفته و در ارائه تفسیرهای نزدیک به یقین در مورد واکنشهای تجربی بسیار موثر واقع شده است [۴].

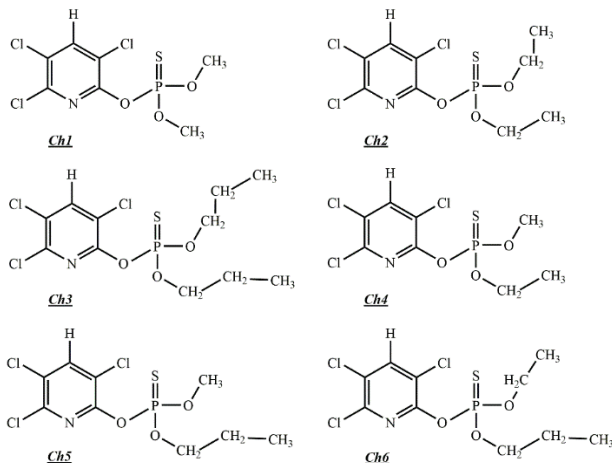
نظریه تابعیت چگالی (DFT) براساس قضیه‌ای است که هوهنبرگ و کوهن به اثبات رسانند. برایه این نظریه خواص پایه یک سیستم شامل انرژی آن سیستم به صورت تابعی از احتمال الکترون بیان می‌شود [۵]. در روش DFT کوششی برای حل معادله شرودینگر و به دست آوردن تابع موج الکترونی صورت نمی‌گیرد. محاسبه انرژی از روی دانسیته الکترونی یا چگونگی یافتن دانسیته الکترونی بدون پیدا نمودن تابع موج الکترونی میسر می‌شود [۶، ۷]. والتر کوهن در شناساندن نظریه تابعیت چگالی تلاشهای فراوانی نمود و بر اساس آن جان پایل نرم افزار Gaussian را برای محاسبات در علم شیمی معرفی کرد. در این پژوهش با استفاده از نرم افزار گوسین، محاسبات شیمی کوانتومی در جهت تاثیر سموم ارگانوفسفره کلروپیریفوس و مشتقات آن برای آنزیم سرین مورد بررسی قرار گرفته است [۸].

### ۲- روش‌های محاسباتی

تمام محاسبات کوانتومی انجام شده در این کار که در مطالعات ساختاری ذکر خواهند شد، با به کار گیری نظریه تابعی چگالی DFT انجام پذیرفته است. بدین منظور با استفاده از نرم افزار گوس ویو [۶] ساختار تاتومرها و صورت‌بندی‌های ترکیبات مختلف طراحی شده و سپس به کمک نرم افزار گوسین [۷] درسطوح مختلف نظری بهینه و پایدارترین تاتومر مولکول مشخص شده است. در این پژوهه محاسبات DFT با روش B3LYP و مجموعه پایه استاندارد 6-31G(d,p) برای اثر سموم کلروپیریفوس و مشتقات آن (Ch 1-Ch 6) بر روی اسید آمینه سرین از طریق پیوند هیدروژنی در حلال آب انجام شد. نماد B3 به مفهوم استفاده از تابع تبدیل الکترونی سه پارامتری بک [۹] و LYP نشان‌دهنده بکار گرفتن تابع همیستگی الکترونی لی، یانگ و پار [۱۰] می‌باشد.

## ۳-بحث و نتیجه

ترکیبات مورد مطالعه در این پژوهه، مشتقات مختلف سم کلروپیریفوس (Ch1-Ch6) و کمپلکس‌های آن‌ها با اسید‌آمینه سرین (Ch-ser1- Ch-ser6) می‌باشد. ساختارهای مورد مطالعه مشتقات سوموم کلروپیریفوس در شکل ۱ نشان داده شده‌است.



شکل ۱) ساختار مشتقات سوموم کلروپیریفوس

## ۴- ممان دوقطبی و انرژی‌های پایداری

اندازه گیری ممان دوقطبی مشتقات کلروپیریفوس در حلال آب با روش b3ly/6-31G(d) انجام شد. مقادیر بدست آمده  $\frac{3}{6}$  تا  $\frac{4}{3}$  دبای است. ممان دوقطبی آنزیم سرین  $\frac{4}{7}$  دبای است. با توجه به نتایج مشاهده شده در جدول ۱ ترتیب ممان دوقطبی ترکیبات و انرژی پایداری کمپلکس‌های کلروپیریفوس نشان داده شده است.

( $\mu$ ):  $\text{Ch5} > \text{Ch3} > \text{Ch6} > \text{Ch2} > \text{Ch4} > \text{Ch1}$

( $\mu$ ):  $\text{Ch-ser2} > \text{Ch-ser6} > \text{Ch-ser5} > \text{Ch-ser3} > \text{Ch-ser1} > \text{Ch-ser4}$

( $\Delta E$ ):  $\text{Ch-ser1} > \text{Ch-ser5} > \text{Ch-ser4} > \text{Ch-ser3} > \text{Ch-ser2} > \text{Ch-ser6}$

## مجله افق‌های نوین در شیمی

نتایج نشان داد قطبیت کمپلکس شماره ۳ و ۵ از بقیه بیشتر بود. ممان دوقطبی مشتقات کلروپیریفوس و کمپلکس های آن با اسید آمینه سرین نشان می دهد که ممان دوقطبی ها به هم نزدیک می باشند. ممان دوقطبی کمپلکس شماره ۴ بیشترین کاهش را نسبت به مشتق مجازی آن داشته است. در کمپلکس های کلروپیریفوس بیشترین مقدار انرژی پایداری مربوط به کمپلکس شماره ۱ و ۵ است و کمترین مقدار مربوط به کمپلکس های شماره ۲ و ۶ است. نتایج نشان داد قطبیت کمپلکس شماره ۳ و ۵ از بقیه بیشتر بود. ممان دوقطبی مشتقات کلروپیریفوس و کمپلکس های آن با اسید آمینه سرین نشان می دهد که ممان دوقطبی ها به هم نزدیک می باشند. ممان دوقطبی کمپلکس شماره ۴ بیشترین کاهش را نسبت به مشتق مجازی آن داشته است. در کمپلکس های کلروپیریفوس بیشترین مقدار انرژی پایداری مربوط به کمپلکس شماره ۱ و ۵ است و کمترین مقدار مربوط به کمپلکس های شماره ۲ و ۶ است. داده های ترمودینامیکی:

با توجه به نتایج حاصل از محاسبات، مقادیر  $\Delta S$  و  $\Delta H$  کمپلکس های کلروپیریفوس از یک روند مشخصی پیروی میکنند. مقادیر  $\Delta G$  در محدوده  $9/14-11/16 \text{ kcal/mol}$  است. مقادیر  $\Delta H$  در محدوده  $1/16-1/10 \text{ kcal/mol}$  و مقادیر  $\Delta S$  در محدوده  $-0/027 \text{ kcal/k}$  است (جدول ۱). نتایج بررسی داده های ترمودینامیکی نشاندهنده گرماییر و غیرخودبخودی بودن فرایند تشکیل تمام کمپلکس ها است.

## ۵- داده های ترمودینامیکی

با توجه به نتایج حاصل از محاسبات، مقادیر  $\Delta S$  و  $\Delta H$  کمپلکس های کلروپیریفوس از یک روند مشخصی پیروی میکنند. مقادیر  $\Delta G$  در محدوده  $9/14-11/16 \text{ kcal/mol}$  است. مقادیر  $\Delta H$  در محدوده  $1/16-1/10 \text{ kcal/mol}$  و مقادیر  $\Delta S$  در محدوده  $-0/027 \text{ kcal/k}$  است (جدول ۱). نتایج بررسی داده های ترمودینامیکی نشاندهنده گرماییر و غیرخودبخودی بودن فرایند تشکیل تمام کمپلکس ها است. برای استخراج ژنوم تک یاخته از بافت های انتخابی با استفاده از کیت به ترتیب زیر عمل می کنیم:

( $\Delta S$ ): Ch-ser1 > Ch-ser5 > Ch-ser4 > Ch-ser3 > Ch-ser6 > Ch-ser2

آنالیز NBO و باند گپ (EG):

باند گپ اختلاف بین HOMO و LUMO معیاری از هدایت الکترون است. با توجه به جدول ۱ باند گپ مشتقات کلروپیریفوس بسیار نزدیک به هم و در حدود  $5/3$  الکترون ولت است. باند گپ آنژیم سرین  $6/5$  الکترون است و به ترتیب زیر می‌باشند. باند گپ کمپلکس‌های کلروپیریفوس همانند مشتقات کلروپیریفوس مقادیر باند گپ بسیار به هم نزدیک است اما در حدود  $0/2$  کاهش را نشان میدهد. بیشترین کاهش باند گپ در کمپلکس شماره ۴ کلروپیریفوس مشاهده شده است. با توجه به نزدیک بودن باند گپ اسید آمینه سرین تشکیل پیوند هیدروژنی قوی در تمامی کمپلکس‌ها محتمل است.

(باند گپ):  $\text{Ch4} > \text{Ch2} > \text{Ch5} > \text{Ch3} > \text{Ch6} = \text{Ch1}$

(باند گپ):  $\text{Ch-ser1} > \text{Ch-ser3} > \text{Ch-ser6} > \text{Ch-ser2} > \text{Ch-ser5} > \text{Ch-ser4}$

## مجله افق‌های نوین در شیمی

جدول ۱) پارامترهای محاسبه شده  $\mu$ ,  $\Delta E$ ,  $\Delta S$ ,  $\Delta H$ ,  $\Delta G$ ,  $\Delta E$  و باندگپ مشتقات

کلروپیریفوس و کمپلکس‌های آن با سرین

ITEM		$\mu$ (debye)	$\Delta E$ (kcal/mol)	$G \Delta$ (kcal/mol)	$H \Delta$ (kcal/mol)	$S \Delta$ (kcal/k)	$Eg$ (hartree)	Band Gaps (ev)
ser		4/6666					-0/2390	-
Ch 1	m-	3/6119					-0/1944	6/5026
	m							-
Ch 2	e-	3/9045					-0/1946	5/2906
	e							-
Ch 3	p-	4/3453					-0/1945	5/2957
	p							-
Ch 4	m-	3/8862					-0/1949	5/2916
	e							-
Ch 5	m-	4/3673					-0/1945	5/3031
	p							-
Ch 6	e-	3/9344					-0/1944	5/2930
	p							-
Ch-ser 1	m-	3/6111	- 0/9625	11/6025	1/1646	-0/03505	-0/1874	5/2911
	m							-
Ch-ser 2	e-	4/7896	1/062	9/1417	1/0360	-0/02722	-0/1872	5/0982
	e							-
Ch-ser 3	p-	3/817	- 1/22	10/3023	1/0530	-0/03104	-0/1873	5/0946
	p							-
Ch-ser 4	m-	3/3512	- 1/068	10/7560	1/1070	-0/03238	-0/1865	5/0965
	e							-
Ch-ser 5	m-	3/8858	- 1/14	10/8181	1/0630	-0/03274	-0/1870	5/0756
	p							-
Ch-ser 6	e-	3/9889	- 1/085	9/5192	1/0956	-0/03104	-0/1873	5/0887
	p							-

## ۶- توصیف گرهای کوانتوم مکانیکی:

توصیف گرهای کوانتوم مکانیکی کمپلکس‌های کلروپیریفوس (انرژی یونش، الکترونخواهی، الکترونگاتیوی، سختی، پتانسیل یونش و الکتروفیلیستی) محاسبه و بررسی شد و در تعیین بهترین کمپلکس‌ها مورد استفاده قرار گرفت. با توجه به نتایج بدست آمده از محاسبات انرژی یونش در حلal آب با روش b3ly/6-31G(d) مقادیر انرژی یونش (I) مشتقات کلروپیریفوس بسیار نزدیک به هم و در حدود  $6/9 \text{ eV}$  را نشان میدهد. از طرفی مقادیر انرژی یونش برای کمپلکس‌های کلروپیریفوس در حدود  $2/0 \text{ eV}$  نسبت به مشتقات کلروپیریفوس کاهش دارد. همچنین داده‌های الکترونخواهی (A) برای مشتقات کلروپیریفوس در حدود  $1/6 \text{ eV}$  و برای کمپلکس‌های کلروپیریفوس در حدود  $1/6 \text{ eV}$  را نشان میدهد. مقادیر پتانسیل شیمیایی ( $\mu$ ) برای مشتقات کلروپیریفوس بسیار نزدیک بهم و در حدود  $4/3 \text{ eV}$  -  $4/3 \text{ eV}$  را نشان میدهد. پتانسیل شیمیایی آنزیم سرین  $3/4 \text{ eV}$  است. از طرفی مقادیر پتانسیل شیمیایی کمپلکس‌های کلروپیریفوس بسیار نزدیک بهم و در حدود  $4/18 \text{ eV}$  -  $4/18 \text{ eV}$  را نشان میدهد که حدود  $1/2 \text{ eV}$  نسبت به مشتقات کلروپیریفوس کاهش دارد. مقادیر الکترونگاتیوی ( $\chi$ ) محاسبه شده مشتقات کلروپیریفوس در حدود  $4/3 \text{ eV}$  و برای کمپلکس‌های کلروپیریفوس در حدود  $4/18 \text{ eV}$  می‌باشد. مقادیر سختی ( $\eta$ ) (نصف تفاضل انرژی یونش و الکترونخواهی) مشتقات کلروپیریفوس در حدود  $2/65 \text{ eV}$  و برای کمپلکس‌های کلروپیریفوس در حدود  $2/55 \text{ eV}$  محاسبه شد. مقادیر الکتروفیلیستی محاسبه شده برای مشتقات کلروپیریفوس بسیار نزدیک بهم و در حدود  $3/46 \text{ eV}$  و برای کمپلکس‌های کلروپیریفوس در محدوده  $3/42 \text{ eV}$  تا  $3/47 \text{ eV}$  را نشان میدهد. نتایج در جدول ۲ گردآوری شده است. به طور کلی در بررسی داده‌های توصیف گر کوانتوم مکانیکی کمپلکس شماره ۴ کلروپیریفوس شرایط مطلوب‌تری دارد. روند تغییرات توصیف گر های کوانتوم مکانیکی به صورت زیر است:

- (I):  $\text{Ch-ser4} > \text{Ch-ser2} > \text{Ch-ser1} > \text{Ch-ser3} = \text{Ch-ser5} > \text{Ch-ser6}$
- (A):  $\text{Ch-ser4} > \text{Ch-ser2} > \text{Ch-ser5} > \text{Ch-ser3} = \text{Ch-ser6} > \text{Ch-ser1}$
- ( $\mu$ ):  $\text{Ch-ser1} > \text{Ch-ser3} = \text{Ch-ser6} > \text{Ch-ser5} > \text{Ch-ser2} > \text{Ch-ser4}$
- ( $\chi$ ):  $\text{Ch-ser4} > \text{Ch-ser2} > \text{Ch-ser5} > \text{Ch-ser3} = \text{Ch-ser6} > \text{Ch-ser1}$

## مجله افق‌های نوین در شیمی

(η): Ch-ser1 > Ch-ser3 = Ch-ser6 > Ch-ser2 > Ch-ser5 > Ch-ser4

(ω): Ch-ser4 > Ch-ser2 > Ch-ser5 > Ch-ser6 > Ch-ser3 > Ch-ser1

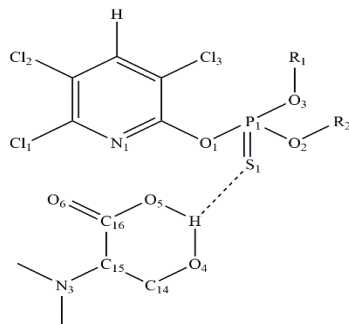
جدول ۲) توصیف گرهای کوانتم مکانیکی کلروپیریفوس، کمپلکس کلروپیریفوس – سرین و مشتقات آن

ITEM		<i>I</i> (ev)	<i>A</i> (ev)	$\mu$ (ev)	<i>X</i> (ev)	$\eta$ (ev)	$\omega$ (ev)
ser		6/6849	0/1823	- 3/4336	3/4336	3/2513	<b>1/8131</b>
Ch 1	m- m	6/9263	1/6357	- 4/2810	4/2810	2/6453	<b>3/4641</b>
Ch 2	e- e	6/9325	1/6368	- 4/2847	4/2847	2/6478	<b>3/4666</b>
Ch 3	p- p	6/9249	1/6332	- 4/2786	4/2784	2/6458	<b>3/4596</b>
Ch 4	m- e	6/9480	1/6450	- 4/2965	4/2965	2/6515	<b>3/4810</b>
Ch 5	m- p	6/9314	1/6384	- 4/2849	4/2849	2/6465	<b>3/4688</b>
Ch 6	e- p	6/9246	1/6335	- 4/2791	4/2791	2/6455	<b>3/4606</b>
Ch- ser1	m- m	6/7238	1.6256	- 4/1747	4/1747	2/5491	<b>3/4185</b>
Ch- ser2	e- e	6/7331	1/6384	- 4/1858	4/1858	2/5474	<b>3/4390</b>
Ch- ser3	p- p	6/7256	1/6295	- 4/1776	4/1776	2/5481	<b>3/4246</b>

Ch-ser4	m-e	6/7358	1/6602	-4/1980	4/1980	2/5378	<b>3/4721</b>
Ch-ser5	m-p	6/7256	1/6373	-4/1816	4/1816	2/5442	<b>3/4364</b>
Ch-ser6	e-p	6/7265	1/6303	-4/1784	4/1784	2/5481	<b>3/4259</b>

## ۷- محاسبات طول و زوایای پیوند:

طول و زوایای پیوند ترکیبات قبل و بعد از تشکیل کمپلکس محاسبه و مقایسه گردید و تغییر زوایا و فرم کلی ساختارها جداگانه بررسی شد. در محیط آب با روش b3ly/6-31G(d) برای کمپلکس های کلروپیریفوس دو پیوند الکترواستاتیک مهم S...H-O4 و O5...H-O4 مشاهده می شود. رسم و شماره گذاری اتمها در این کمپلکس ها در شکل ۲ ارائه شده است. نتایج مربوط به طول و زوایای پیوندها در جداول ۳ و ۴ گردآوری شده است.



شکل ۲) ساختار و شماره گذاری اتمها در کمپلکس های کلروپیریفوس-سرین (Ch-ser

1-6)

## مجله افق‌های نوین در شیمی

جدول ۳) پارامترهای ساختاری مشتقات کلروپیریفوس و آمینواسید سرین

طول پیوند (A°)	Ch 1	Ch 2	Ch 3	Ch 4	Ch 5	Ch 6	ser
O5...H-O4	3.61	2.97	2.20	2.19	2.20	2.19	
S...H-O4	2.45	2.97	2.89	2.89	2.83	2.93	
زاویه پیوند (°)							
O5...H-O4	61	68	48	37	85	89	
S...H-O4	104	92	91	91	51	36	
O1-P1-S1	116.56		116.26	116.26	116.4	116.26	
O2-P1-S1	17.041	117.10	117.13	116.97	116.92	117.02	
O3-P1-S1			118.93	119.42	119.38	119.18	
C14-C15-							109.98
C16							
C14-O4-H							105.14
C14-C15-H							107.66

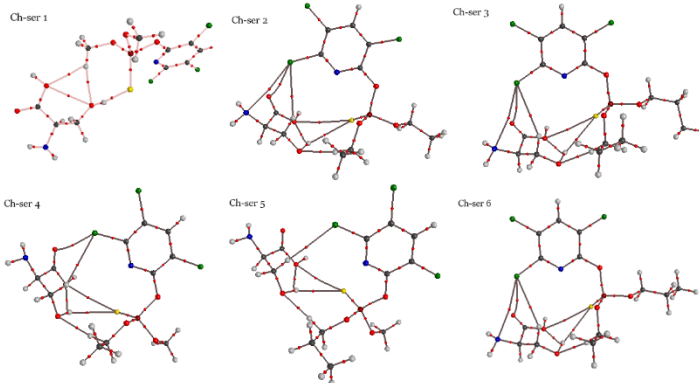
## جدول ۴) پارامترهای ساختاری کمپلکس‌های کلروپیریفوس و سرین

طول پیوند (A <sup>°</sup> )	Ch-ser 1	Ch-ser 2	Ch-ser 3	Ch-ser 4	Ch-ser 5	Ch-ser 6
S-H	2.49		2.89	2.89	2.82	2.93
زاویه پیوند ( <sup>°</sup> )						
O1- P1-S1	115.94		116.02	116.12	115.86	116.01
O2- P1-S1	116.30	116.79	116.82	116.66	116.6	116.87
O3- P1-S1			119.34	119.62	119.61	119.42
C14- C15-	113.84	122.72	112.42	112.41	112.62	112.49
C16						
C14- O4-H	107.61	107.09				
C14- C15- H			109.19	107.66	107.03	109.27

## ۸- آنالیز اتم در کمپلکس‌های کلروپیریفوس با QTAIM

با توجه به نتایج داده‌های Aim در کمپلکس 1 پیوند‌های O6-H و O6-O4 و O4-H و O4...H-O4...H دارای مقادیر (r) r کم و مقادیر لاپلاسین و (r) H مثبت بوده، لذا از خصلت یونی و الکترو استاتیکی برخوردارند. مابقی پیوند‌ها دارای خصلت کووالانسی هستند. در کمپلکس 2 پیوند‌های S...H-O4 و O6...S و C11...H-C14 و S...H-O4...O6...S در کمپلکس 3 پیوند‌های Cl1...O5 و Cl1...N3 و S...H-O4...O6...S در کمپلکس 4 پیوند‌های Cl1...O5 و O4...H-C7 و O6...H-O4 و Cl1...O5 و O4...H-C14 و Cl1...N3 و C11...H-C14 و S...H-O4...O4...S در کمپلکس 5 پیوند‌های Cl1...H-S...H-O4 و O6...H-O4 و O6...H-O4 و

S...H-O4 و C14...O6...H-O4، کمپلکس 6 پیوند های O6...S و O6...H-O4 مثبت هستند، لذا خصلت یونی و الکترواستاتیکی برخوردار هستند. سایر پیوند ها از نوع کواوالانسی هستند. به طور کلی در داده های QTAIM کمپلکس ها پیوند های S1...H-O ماهیت الکترواستاتیکی داشتند. همچنین پیوند هیدروژنی درون ملکولی در اسید آمینه سرین 06...H-O4 ماهیت الکترواستاتیکی دارد. پیوندهای C-H و N-H و C-N و P-O و N-H و C-H های کلروپیریفوس-سرین در شکل ۳ نشان داده شده است.

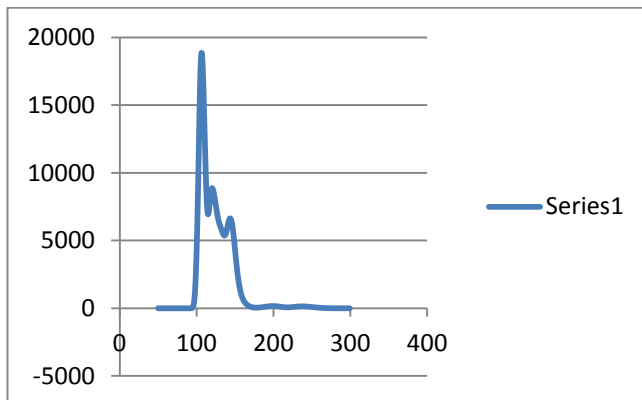


شکل ۳) پیوندهای هیدروژنی در کمپلکس‌های کلروپیریفوس-سرین

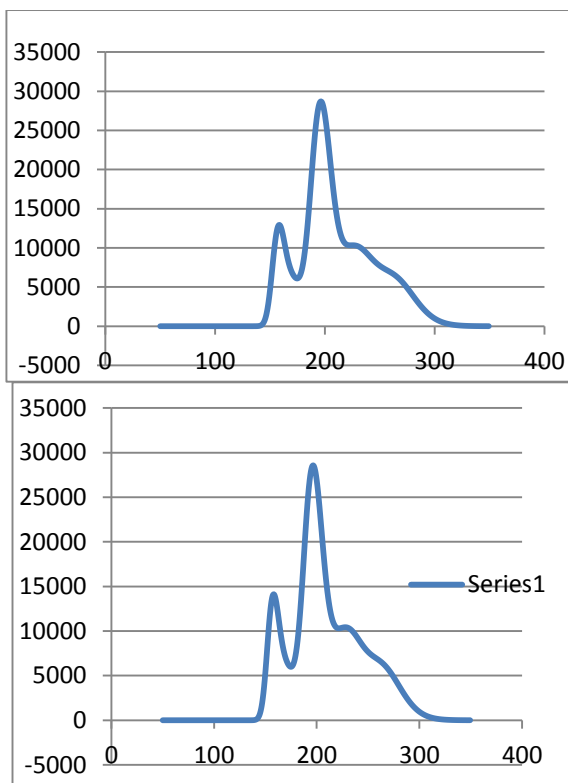
## ۹- بررسی انتقالات الکترونی

با توجه به بررسی پیک UV-vis و انتقالات الکترونی، در اسید آمینه سرین در طول موج ماکریم ۱۰۶/۷۵ نانومتر بیشترین درصد انتقال H-9→L مشاهده شده است (شکل ۴). در مشتق 1 Ch سم کلروپیریفوس در طول موج ماکریم ۱۹۴/۷۵ نانومتر بیشترین درصد انتقال مربوط به H-3→L+1 و همچنین در طول موج ۱۹۹/۶۳ نانومتر بیشترین درصد انتقال مربوط به H-1→L+2 است. در 2 Ch در طول موج ماکریم ۱۹۴/۷۲ نانومتر بیشترین درصد انتقال را در L→H-4 و همچنین در طول موج ۲۰۰/۲۳ نانومتر بیشترین درصد انتقال را در H-4→Ch دارد. با توجه به نتایج انتقالات الکترونی با توجه به جدول زیر ۳ در طول موج

ماکریمم ۱۹۴/۷۳ نانومتر بیشترین درصد انتقال را در  $L \rightarrow H-4$  و همچنین در طول موج ۲۰۰/۳۱ نانومتر بیشترین درصد انتقال را در  $H-1 \rightarrow L+2$  دارد. همچنین مشتق Ch 4 در طول موج ماکریمم ۱۹۴/۶۶ نانومتر بیشترین درصد انتقال را در  $L \rightarrow H-4$  و همچنین در طول موج ۱۹۹/۸۹ نانومتر بیشترین درصد انتقال را در  $L+2 \rightarrow H-1$  دارد. مطالعات بر روی مشتق ۵ نشان داد که در طول موج ماکریمم ۱۹۴/۶۷ نانومتر بیشترین درصد انتقال در  $L \rightarrow H-4$  و همچنین در طول موج ۱۹۹/۹۳ نانومتر بیشترین درصد انتقال در  $H-2 \rightarrow L+1$  مشاهده می‌شود. و در نهایت مشتق ۶ در طول موج ماکریمم ۱۹۴/۶۶ نانومتر بیشترین درصد انتقال را در  $L \rightarrow H-4$  و در طول موج ۲۰۰/۲۵ نانومتر بیشترین درصد انتقال را در  $H-1 \rightarrow L+2$  دارد. تصاویر پیک uv-vis مشتقات کلروپیریفوس در شکل‌های ۱۰-۵ داده شده است.

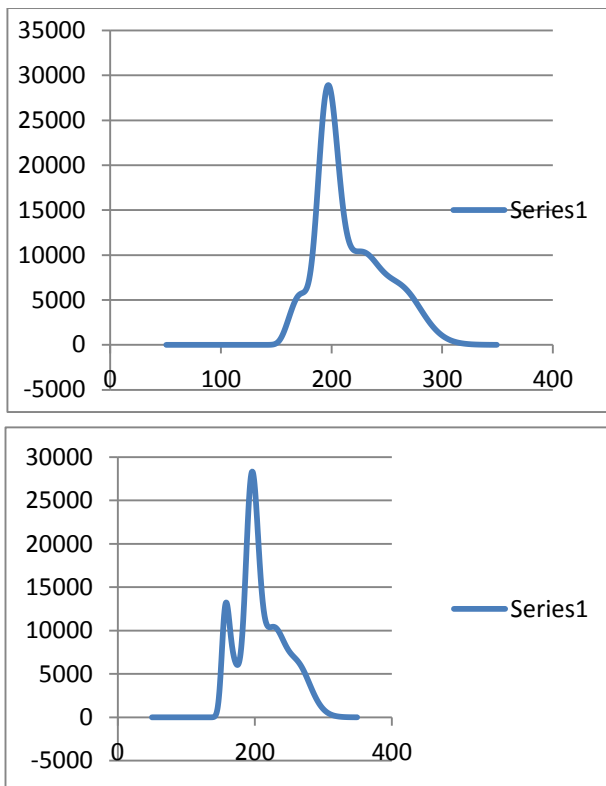


شکل ۱۰-۵ پیک uv-vis اسید آمینه سرین



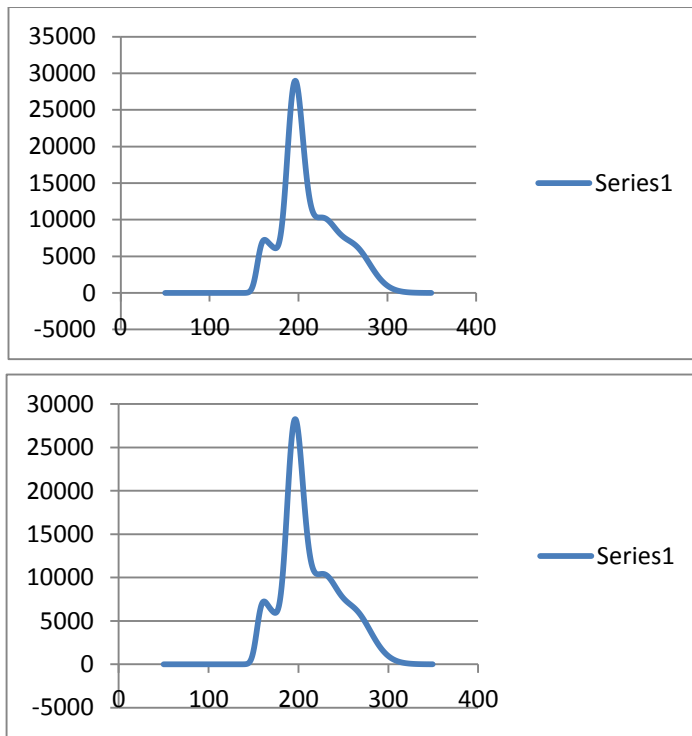
شکل ۵) پیک uv-vis کلروپیریفوس ۱

شکل ۶) پیک uv-vis کلروپیریفوس ۲



شکل ۷) پیک uv-vis کلروپیرینفوس ch 3

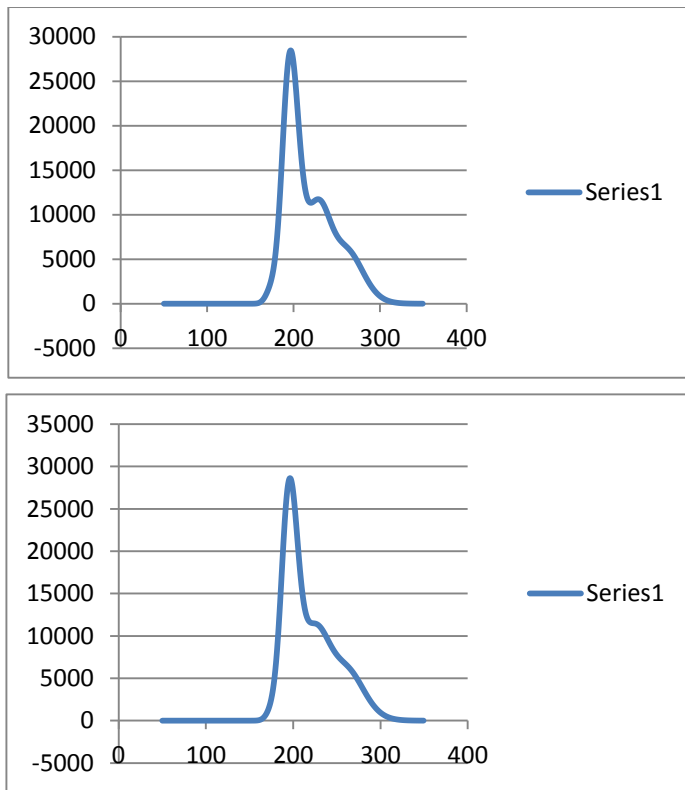
شکل ۸) پیک uv-vis کلروپیرینفوس ch 4



شکل ۹) پیک uv-vis کلروپیریفوس ۵

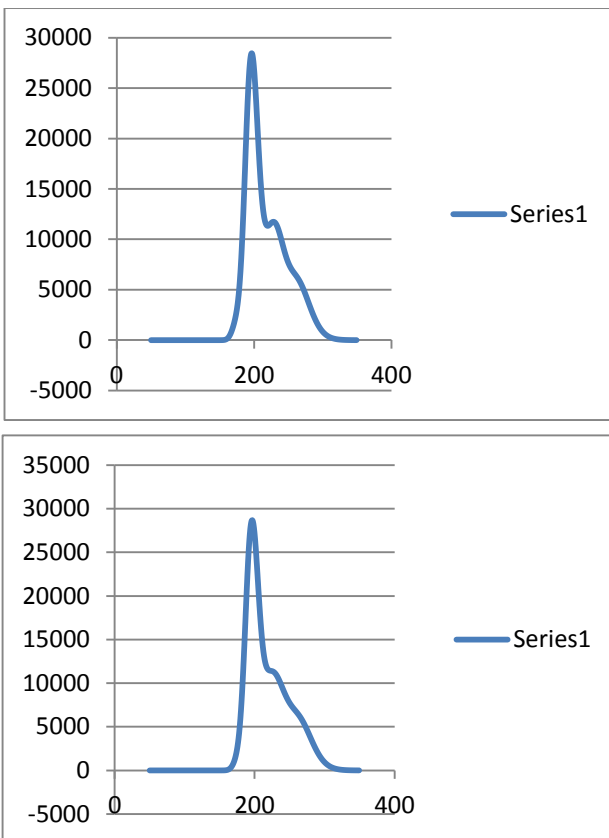
شکل ۱۰) پیک uv-vis کلروپیریفوس ۶

در بررسی انتقالات الکترونی کمپلکس‌های کلروپیریفوس با سرین نتایج نشان داد، کمپلکس Ch-ser1 در طول موج ماکزیمم ۱۹۴/۹۴ نانومتر بیشترین درصد انتقال را در  $H-7 \rightarrow L$  و همچنین در طول موج ۲۰۱/۴۸ نانومتر بیشترین درصد انتقال را در  $H-7 \rightarrow H$  دارد. همچنین Ch-ser2 در طول موج ماکزیمم ۱۹۴/۵۴ نانومتر بیشترین درصد انتقال را در  $H-7 \rightarrow L$  و همچنین در طول موج ۲۰۰/۲۳ نانومتر بیشترین درصد انتقال را در  $H-7 \rightarrow H$  دارد. کمپلکس ser3 در طول موج ماکزیمم ۱۹۴/۷۰ نانومتر بیشترین درصد انتقال را در  $H-6 \rightarrow L+1$  و همچنین در طول موج ۲۰۰/۴۹ نانومتر بیشترین درصد انتقال را در  $L+2 \rightarrow H-2$  دارد. نتایج انتقالات الکترونی برای Ch-ser4 نشان داد این کمپلکس در طول موج ماکزیمم ۱۹۴/۷۶ نانومتر بیشترین درصد انتقال را در  $L+1 \rightarrow H-6$  و همچنین در طول موج ۲۰۰/۱۸ نانومتر بیشترین درصد انتقال را در  $L \rightarrow H-6$  دارد. کمپلکس Ch-ser5 در طول موج ماکزیمم ۱۹۴/۶۹ نانومتر بیشترین درصد انتقال را در  $L+1 \rightarrow H-6$  و همچنین در طول موج ۲۰۰/۰۵ ماکزیمم ۱۹۴/۵۵ نانومتر بیشترین درصد انتقال را در  $L+1 \rightarrow H-6$  و در نهایت Ch-ser6 در طول موج ۲۰۰/۴۳ نانومتر بیشترین درصد انتقال را در  $L \rightarrow H-6$  دارد. تصاویر پیک uv-vis های کلروپیریفوس و سرین در شکل‌های ۱۱-۱۶ نشان داده شده است.



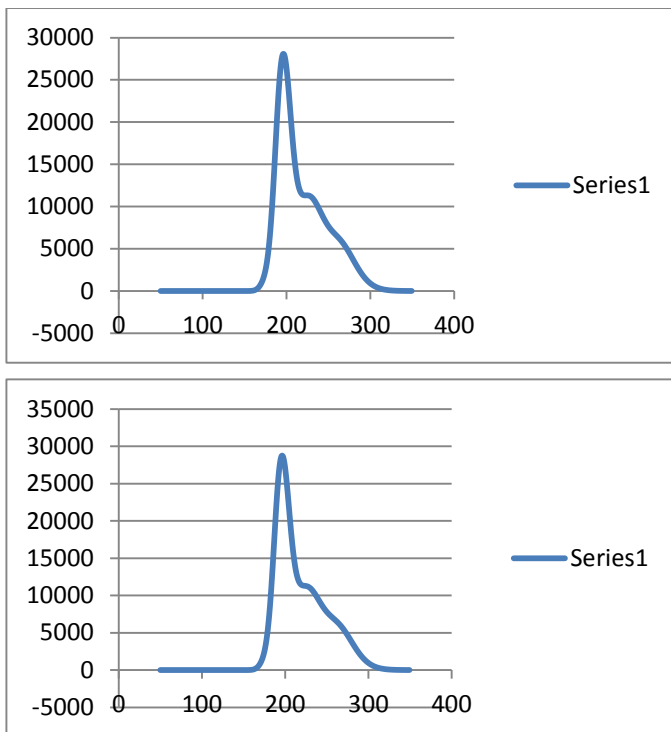
شکل (۱۱) پیک uv-vis کمپلکس کلروپیریفوس-سرین ۱

شکل (۱۲) پیک uv-vis کمپلکس کلروپیریفوس-سرین ۲



شکل (۱۳) پیک uv-vis کمپلکس کلروپیریفوس-سرین ۳

شکل (۱۴) پیک uv-vis کمپلکس کلروپیریفوس-سرین ۴



شکل ۱۵) پیک uv-vis کمپلکس کلروپیریفوس-سرین ۵

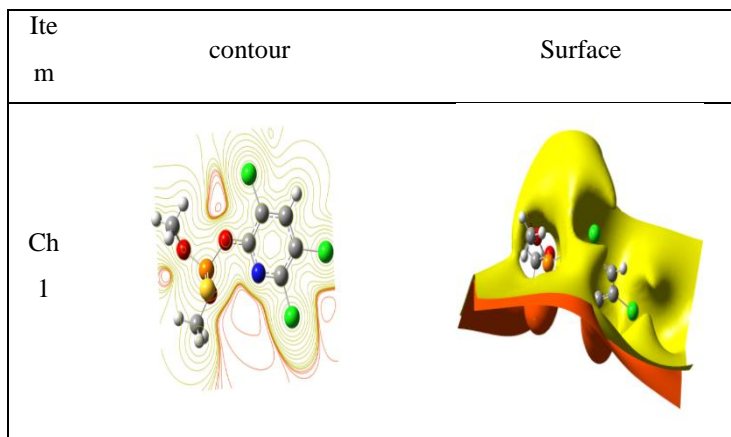
شکل ۱۶) پیک uv-vis کمپلکس کلروپیریفوس-سرین ۶

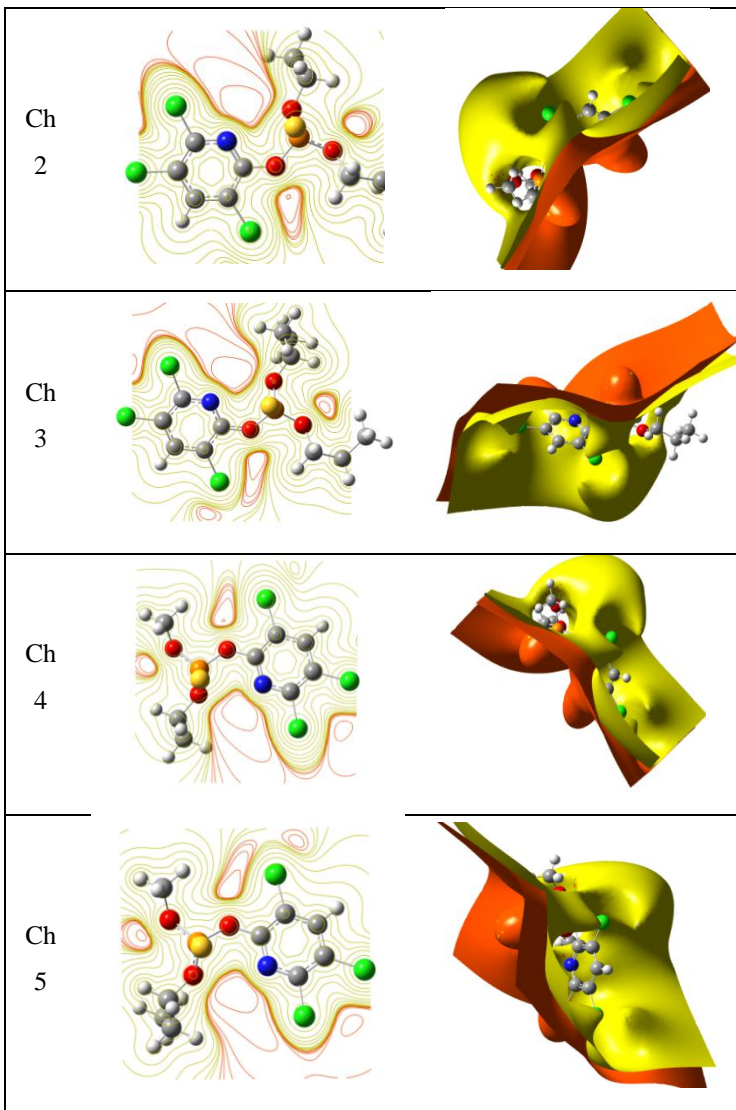
## ۱۱- بررسی تصاویر پتانسیل بارالکترو استاتیک سطحی و نقشه کانتور

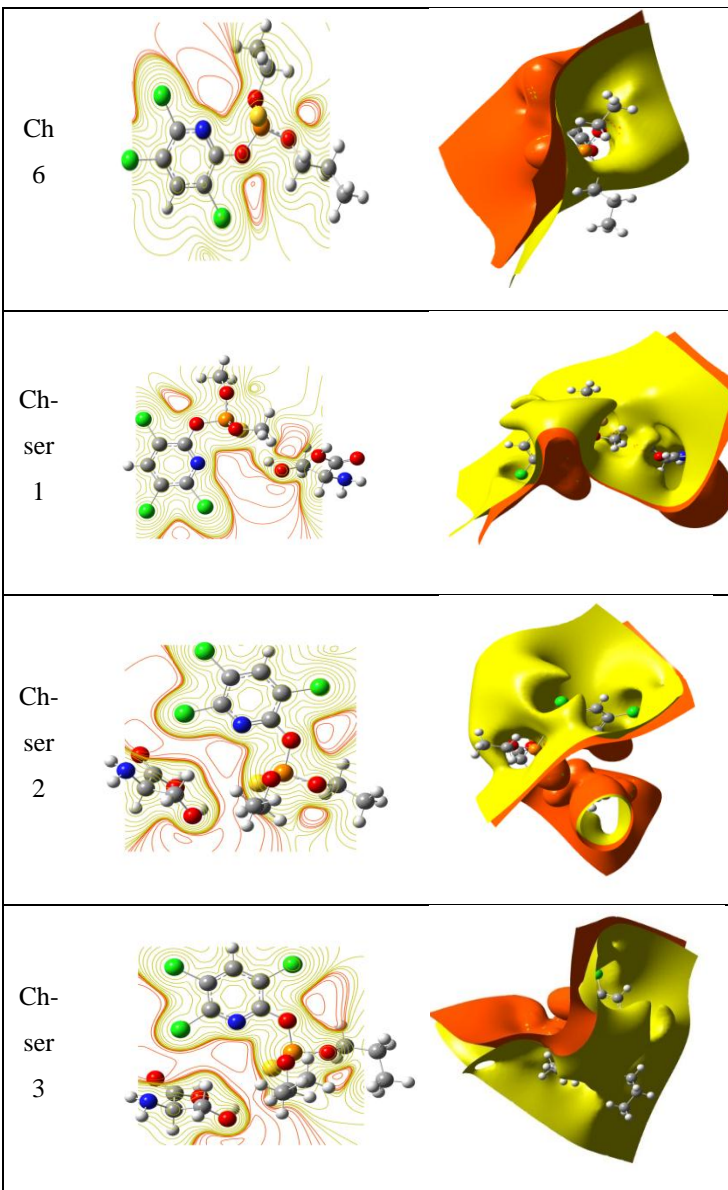
در اشکال پتانسیل بارالکترو استاتیک سطحی صفحه چگالی بار منفی (رنگ قرمز) بیرون ملکول و صفحه چگالی بار مثبت (رنگ سبز) خود ملکول را دربر گرفته است. در اشکال کانتور خطوط بار منفی (رنگ قرمز) اطراف ملکول و خطوط بار مثبت (رنگ سبز) درون ملکول را در بر گرفته است. صفحات چگالی و خطوط در نقشه های کانتور مانند نتایج حاصل از ممان دوقطبی نشان می دهد کلروپیریفوس و مشتقات آن متقارن نیستند. همچنین در تصاویر کمپلکس های کلروپیریفوس با اسیدآمینه سرین مجددا عدم تقارن در تمامی کمپلکس ها مشهود است. در کمپلکس های ۳ و ۵ ممان دوقطبی نسبت به ترکیب مجزا کاهش داشته است.. همچنین در کمپلکس شماره ۳ ممان دوقطبی نسبت به ترکیب تنها کاهش پیدا کرده است. تغییرات خطوط بار مثبت و خطوط بار منفی نسبت به ترکیب مجزا در نقشه کانتور موید این نکات است (جدول ۶).

جدول ۶ تصاویر پتانسیل بارالکترو استاتیک سطحی و نقشه کانتور در مشتقات

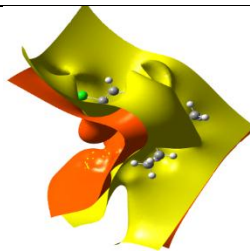
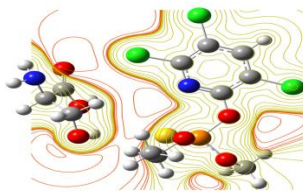
کلروپیریفوس و کمپلکس های کلروپیریفوس با سرین



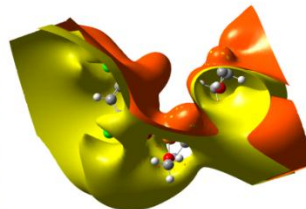
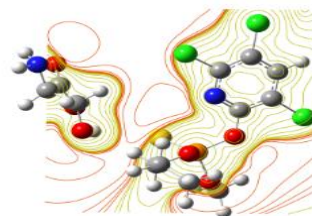




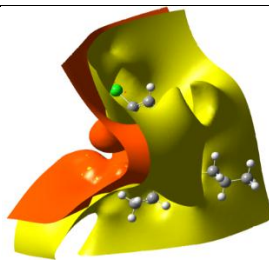
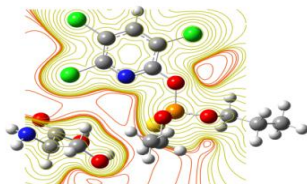
Ch-  
ser  
4



Ch-  
ser  
5



Ch-  
ser  
6



## ۱۱- نتیجه گیری

در این پژوهه محاسبات DFT با روش B3LYP و مجموعه پایه استاندارد (d,p) 6-31G(d,p) برای اثرسوموم کلروپیریفوس و مشتقان آنها بر روی اسید آمینه سرین انجام شد و پایدارترین کمپلکس‌های کلروپیریفوس با اسید آمینه سرین مشخص شدند. داده‌های ترمودینامیکی بررسی شد. همچنین در بررسی باند گپ (Eg) و NBO اختلاف انرژی بین بالاترین اربیتال ملکولی اشغال شده HOMO و پائین‌ترین اربیتال ملکولی خالی LUMO که نشان دهنده هدایت الکترون است مورد مطالعه قرار گرفت. هدایت اسید آمینه سرین  $6/5\text{eV}$  است و هدایت

مشتقات کلروپیریفوس در حدود  $5/3\text{ev}$  است. برهمکنش این ترکیبات از طریق طول پیوند سطح همو و لومو انتقالات الکترونی و توصیف گرهای کوانتوم مکانیکی اثبات شده است. ماهیت پیوند بین اسیدآمینه سرین با کلیه مشتقات کلروپیریفوس الکترواستاتیک بوده و برهمکنش‌های درون مولکولی نشانده‌نده پایداری این کمپلکس‌هاست. در جهت ادامه پژوهش در این زمینه پیشنهاد می‌گردد انجام آزمایش مقایسه‌ای اثر سموم ارگانوفسفره با گروه عاملی اکسیژن روی اتم فسفر و سموم ارگانوفسفره با گروه عاملی گوگرد روی اتم فسفر بروی اسید آمینه سرین در مطالعات آینده انجام پذیرد.

## منابع و مأخذ

(۱) خلیل طالبی جهرمی، سم شناسی آفت کش‌ها، انتشارات دانشگاه تهران،

۱۳۹۱

(۲) سینا احمدیه، کنترل آفات بدون سموم شیمیابی، مرزدانش، ۱۳۹۰

[3] Ghadamyari, M., Talebi, K., & Kono, Y. (2010). The Ser431Phe substitution in acetylcholinesterase associated with pirimicarb and organophosphorous insecticide resistance in the peach-potato aphid, *Myzus persicae* (Hem.: Aphididae). *Journal of Entomological Society of Iran*, 30(1).

(۴) نکوئی، عبالرضا، ذاکر عباسعلی، نرگس، ۱۳۹۲، مطالعات NBO و DFT روی پیوند هیدروژنی درون مولکولی بعضی ترکیبات ایمیدی، شیمی کوانتومی و اسپکتروسکوپی، ۳(۷): ۱۵-۱۸.

(۵) مهتاب غربی، مریم سادات مطلبی پور، شیمی محاسباتی، اندیشه سرا، ۱۳۹۱

[6] Ira N, Levine , Qantum Chemistry .Fifth Edition

[7] Ira N, Levine , Qantum Chemistry .Sixth Edition

[8] Frank Jensen, Introduction to Computational Chemistry , Second Edition, Jhon Willey & Sons, Inc.

[9] Donald W. Rogers, Computational chemistry using the PC 3red ed.Rogers, 2003 by Jhon Willey & sons Inc.

[10] Donald A. McQuarrie, Jhon D. Simon, PhysicalChemistry, 1997, (University Science Books).